

بررسی ساختار ژنتیکی ماهی سوکلا با استفاده از نشانگرهای ریزماهواره

سهراب رضوانی کیلکلائی^{(۱)*}; محمد علی سالاری علی‌آبادی^(۲); احمد سواری^(۳)؛
حسین ذوالقرنین^(۴) و سید محمد باقر نبوی^(۵)

۱- موسسه تحقیقات شیلات ایران، تهران صندوق پستی: ۱۴۱۰۵-۶۱۱۶
۲، ۳، ۴ و ۵ - دانشکده علوم دریایی، دانشگاه علوم و فنون دریایی، خرمشهر صندوق پستی: ۶۶۹
تاریخ پذیرش: خرداد ۱۳۸۷ تاریخ دریافت: شهریور ۱۳۸۸

چکیده

در این مطالعه تنوع ژنتیکی ماهی سوکلا در خلیج فارس و دریای عمان با استفاده از روش ریزماهواره بررسی گردید. در زمستان ۱۳۸۵ و بهار ۱۳۸۶ حدود ۳-۵ گرم از بافت نرم انتهای باله سینه‌ای و باله پشتی ۱۸۴ نمونه ماهی جدا و در الکل اتیلیک خالص (۹۶ درصد) ثبت شد. واکنش زنجیره‌ای پلیمراز (PCR) با استفاده از ۱۰ جفت آغازگر ریزماهواره صورت گرفت. دنдрوگرام فاصله ژنتیکی با استفاده از نرم‌افزار ژنتیکی MEGA 4.0.2 ترسیم گردید. حداکثر مقدار F_{st} (۰/۰۶۳) براساس آزمون AMOVA بین نمونه‌های بندر دیر با نمونه‌های پزم که دارای کمترین میزان جریان ژنی (۳/۷) است، مشاهده گردید. میزان R^2 براساس آزمون AMOVA بین مناطق واقع در یک ناحیه نمونه‌برداری غیرمعنی دار ولی بین مناطق واقع در نواحی مختلف معنی دار بود ($P < 0.01$). براساس درخت فیلوزنی رسم شده، مناطق مختلف به دو خوشه تقسیم شدند، خوشه اول شامل مناطق بوشهر و دیر بوده و خوشه دوم از آن منشعب شده و به دو گروه تقسیم شده است گروه اول نمونه‌های مناطق پزم و بریس و گروه دوم شامل نمونه‌های مناطق بندر لنگه و بندرعباس می‌باشد. ماهی سوکلا در خلیج فارس و دریای عمان احتمالاً دارای ۳ جمعیت مجزا است که شامل جمیعت‌های بوشهر، هرمزگان و چابهار می‌باشد.

لغات گلیقه‌ی: ماهی سوکلا، ریزماهواره، خلیج فارس، دریای عمان

*نويسنده مسئول: Rezvani@ifro.ir

مقدمه

غیرقانونی به شدت کاهش یافته و اندک ذخایر باقیمانده ماهیان هم به جهت تخریب بسترها تخم ریزی، فشار صید بی رویه، صید غیرقانونی و آلودگی با مشکلاتی مواجه هستند. لذا انجام تحقیق حاضر براساس تکنیک مولکولی آنالیز ریزماهواره با استفاده از زیهای مستقر بر روی ژنوم ماهی سوکلا در سواحل شمالی خلیج فارس و دریای عمان و با هدف شناسایی ساختار جمعیتی ماهی سوکلا در هر یک از مناطق مختلف نمونه برداری امری ضروری و اجتناب ناپذیر بود.

مواد و روش کار

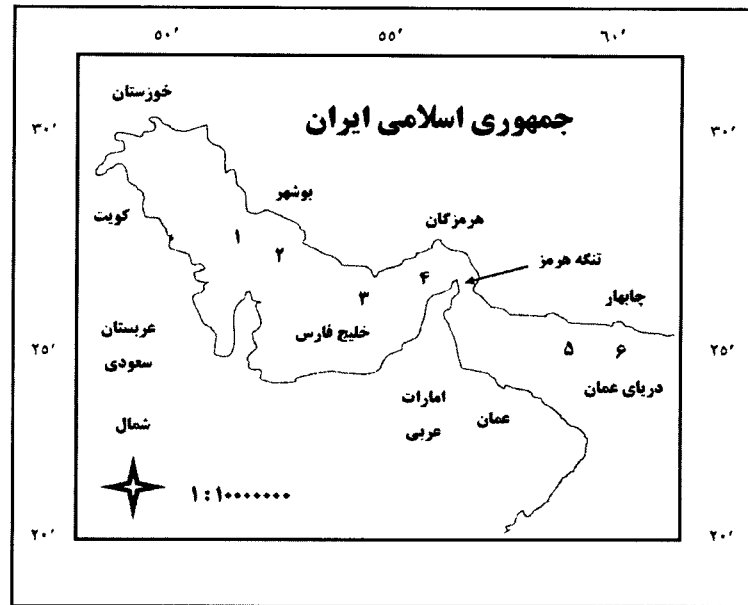
در این بررسی پس از مطالعه اولیه و تعیین ایستگاهها ۳ تا ۵ گرم از بافت نرم انتهای باله سینه‌ای و باله پشتی ۱۸۴ عدد از ماهی‌های سوکلا صید شده در عملیات صیادی کشتهای تحقیقاتی مرکز تحقیقات شیلات ایران و صیدگاههای شیلات استان بوشهر، هرمزگان و سیستان و بلوچستان در زمستان ۱۳۸۵ و بهار ۱۳۸۶ جدا و در اتانول خالص تثبیت گردید و برای انجام آزمایش و مطالعات ژنتیکی به آزمایشگاه بیوتکنولوژی پژوهشکده اکولوژی دریای خزر، ساری منتقل گردید. شکل ۱ موقعیت ایستگاههای نمونه برداری در سواحل شمالی خلیج فارس و دریای عمان و جدول ۱ تعداد و پراکنش نمونه‌های جمع‌آوری شده ماهی سوکلا را نشان می‌دهد.

DNA هسته به روش استاندارد فنل-کلروفرم استخراج شد (Hillis & Moritz, 1990). به این ترتیب که در ابتدا بافت مورد نظر در یک بافر لیزکننده همراه با پروتئیناز K (آنزیمی برای شکستن پروتئین‌ها) همگن شده و سپس یک حجم فنل به آن افزوده شده و به شدت مخلوط گردید. از آنجایی که فنل و آب مخلوط شدنی نیستند براساس بار الکتریکی مربوط، پروتئین‌ها و اسیدهای آمینه به سمت فاز فنلی مهاجرت می‌کنند و در مقابل اسیدهای نوکلئیک در فاز آبی باقی می‌مانند. این فرآیند ادامه پیدا می‌کند و باقیمانده فنل بوسیله افزودن کلروفرم و سپس استخراج فاز آبی از مخلوط جدا می‌گردد. در نهایت DNA بوسیله اتانول از فاز آبی جدا شده و تهشیش می‌شود (Hoelzel & Dover, 1991). جهت تعیین کمیت و کیفیت DNA استخراج شده و تعیین غلظت و خلوص DNA استخراجی از روش‌های اسپکتروفوتومتری و الکتروفورز استفاده گردید. در این مطالعه با توجه به منابع طراحی آغازگرهای ریزماهواره‌ای براساس ترادف DNA ژنومی ماهی سوکلا صورت گرفت (Renshaw et al., 2005; Pruett et al., 2005).

Rachycentridae یکی از قدیمی‌ترین و ابتدایی‌ترین ماهیان استخوانی می‌باشد که تنها دارای یک گونه منحصر بفرد بنام سوکلا (*Rachycentron canadum*) می‌باشد. سوکلا ماهی سطحی و سریع‌الرشد و یکی از محدود ماهیانی است که در دنیا در مناطق گرمسیری و نیمه گرمسیری و آبهای گرم معتدله غیر از شرق اقیانوس آرام و دریای مدیترانه یافته می‌شود و بیشترین فراوانی را در طول سواحل اطلس جنوبی ایالات متحده و شمال خلیج مکزیک دارد (Ditty & Shaw, 1992; Turner & Rooker, 2005; Shaffer & Nakamura, 1989). بیشینه برداشت پایدار ذخایر ماهیان از اهداف مدیریت شیلاتی است که دستیابی به آن نیازمند آگاهی از ذخایر این ماهیان می‌باشد. یکی از روش‌های مورد استفاده جهت ارزیابی ساختار ذخایر، تشخیص گونه‌ها، جمعیت‌ها و نزادها بکارگیری صفات مورفو‌متريک و مرسيتيک است اما با توجه به حساسیت زیاد صفات مورفو‌متريک و مرسيتيک به تغیيرات محیطی و نیز اثر منفی دستکاری هنگام نشانه‌گذاری بر سلامت و بقای ماهیان و همچنین محدود بودن تفسیر داده‌های نشانه‌گذاری به زمان جمع‌آوری آنها (Adams & Hutchings, 2003)، همگام با پیشرفت علم استفاده از نشانگرهای مولکولی مثل ریزماهواره، آلوزايم، RAPD، AFLP و RFLP که متأثر از فاكتورهای محیطی نمی‌باشد جهت شناسایی ساختار ژنتیکی ذخایر بیش از پیش رایج شده است (Ryman, 1991). امروزه هدف اصلی آزمایشات ژنتیک مولکولی در آبیان، آنالیز ساختار جمعیتی، تنوع ژنتیکی، ارتباطات گونه‌ای، سیستماتیک و طبقه‌بندی آنها می‌باشد (Lu, 1998; Rezvani Gilkolaei, 1997).

Pruett و همکاران در سال ۲۰۰۵ در مطالعه تنوع ژنتیکی ماهی سوکلا (*R. canadum*) ۲۰ آغازگر ریزماهواره را در ماهی سوکلای خلیج مکزیک واقع در سواحل جنوبی ایالات متحده مورد استفاده قرار دادند، نتایج حاکی از تغییر تنوع ژنتیکی بین صفر تا ۰/۹۱۰ و تعداد ۱-۱۵ آلل در جایگاه‌های مختلف ریزماهواره‌ای می‌باشد. Valinassab و همکاران در سال ۲۰۰۶ در بررسی تعیین زیتوده و بیشینه برداشت پایدار ذخایر ماهیان جنوب ایران، ماهی سوکلا را بعنوان گونه مهم تجاری پلازیک معرفی و درصد زیتوده کل آن را ۰/۱۰ و ۰/۱۸۲ در خلیج فارس و دریای عمان برآورد نمود. داد.

امروزه جمعیت ماهی سوکلا در اکثر اکوسیستمهای جهان و از جمله خلیج فارس و دریای عمان بعلت صید غیرمجاز و



شکل ۱: موقعیت ایستگاههای نمونهبرداری ماهی سوکلا *R. canadum* در سواحل شمالی خلیج فارس و دریای عمان

(۱)-بوشهر ۲-بندر دیر ۳-بندر لنگه ۴-بندر عباس ۵-پزم ۶-بریس)

جدول ۱: تعداد و پراکنش نمونه‌های جمع‌آوری شده از ماهی سوکلا *R. canadum* در زمستان ۱۳۸۵ و بهار ۱۳۸۶

استان (ناحیه)	نام صیدگاه (ایستگاه)	تعداد نمونه
بوشهر	۱- بوشهر	۳۹
	۲- بندر دیر	۲۲
هرمزگان	۳- بندر لنگه	۳۲
	۴- بندر عباس	۴۱
سیستان و بلوچستان	۵- پزم	۳۰
	۶- بریس	۲۰

میکرولیتر $MgCl_2$ (۵۰ میلی مولار) استفاده شد که در نهایت حجم آن با آب مقطر به ۲۵ میکرولیتر رسانده، چند ثانیه سانتریفیوز و تیوب‌ها در ترموسایکلر قرار گرفتند. در اولین سیکل واشرشت سازی اولیه DNA در دمای ۹۵ درجه سانتیگراد و به

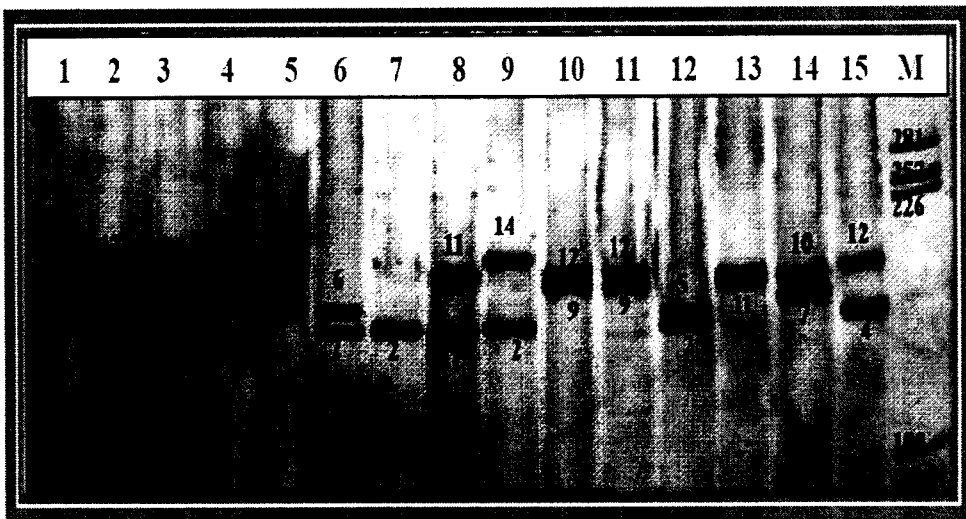
برای انجام PCR و تکثیر زن هدف، ۱۰۰ نانوگرم DNA استخراجی، ۱ میکرولیتر از آغازگرها (۳۰ پیکومول) بعلاوه ۰/۵ میکرولیتر dNTP (۱۰ میلی مولار)، ۰/۲ میکرولیتر آنزیم Taq پلیمراز (۵U/ μ l)، ۲/۵ میکرولیتر بافر PCR (۱۰X)، ۰/۸

نتایج

از ۱۰ جفت آغازگر ریزماهواره‌ای بررسی شده در ماهی سوکلا، ۷ جفت آنها پلی‌مورف و ۳ جفت آنها مونومورف بوده است که جزئیات محاسباتی آن در جدول ۲ آورده شده است. براساس داده‌های فراوانی آللی جایگاه‌های مختلف ریزماهواره‌ای پلی‌مورفیک مشاهده می‌شود که حداقل تعداد آللی در تمام مناطق نمونه‌برداری در جایگاه زنی Rca 1B-H09 با ۱۸ آلل و حداقل آن در جایگاه زنی پلی‌مورفیک Rca 1B-A10 و Rca 1B-E08A با ۱۴ آلل دیده می‌شود. در مقایسه مناطق مورد مطالعه بیشترین تعداد آلل مشاهده شده مربوط به نمونه‌های منطقه بندربیاس با ۱۴/۲۸۶ آلل و کمترین تعداد آلل مشاهده شده مربوط به نمونه‌های منطقه بریس با ۱۰/۵۷۱ آلل می‌باشد. پس از بهینه سازی واکنش‌های PCR مناسب‌ترین دما برای اتصال آغازگر Rca 1B-H09 ۶۰ درجه سانتیگراد و ۳۰ چرخه بدست آمد. تعداد آلل مشاهده شده برای این جایگاه زنی در ۱۸۴ نمونه مورد مطالعه ۱۸ آلل و دامنه اندازه آللی بین ۱۵۰-۲۲۶ جفت باز بود. در شکل ۲ اندازه آللی ۱۵۰-۲۰۶ جفت باز متعلق به نمونه‌های منطقه بریس نشان داده شده است.

مدت ۵ دقیقه صورت گرفت. در سیکل دوم که شامل ۳ مرحله و ۳۰ بار تکرار است و اسرشت سازی DNA در دمای ۹۴ درجه سانتیگراد به مدت ۳۰ ثانیه، اتصال آغازگر به رشته الگو در محدوده حرارتی ۵۵ تا ۶۶ و سپس مرحله سوم بسط پلی‌مراز در دمای ۷۲ درجه سانتیگراد و به مدت ۴۵ ثانیه صورت گرفت. بسط نهایی رشته DNA در دمای ۷۲ درجه سانتیگراد به مدت ۱۰ دقیقه انجام گردید.

محصول PCR به روش الکتروفوروز با ژل آگارز ۲ درصد مورد ارزیابی قرار گرفت و اندازه قطعات حاصل از PCR با مقایسه با نشانگر pBR322 DNA/AluI Marker, (20, MBI Fermentas) بر روی ژل پلی‌اکریل‌آمید ۸ درصد و با روش رنگ‌آمیزی نیترات نقره بدست آمد Bassam *et al.*, (1991). جهت سنجش وزن مولکولی محصول PCR و امتیازدهی باندهای تصاویر ژل پلی‌اکریل‌آمید از نرم‌افزار LabImage version 3.3.3 و به منظور آنالیزهای آماری براساس آزمون AMOVA از نرم افزار Gene Alex version 6 (Peakall & Smouse, 2005) آنالیز خوش‌های فاصله ژنتیکی به روش پیوند هم‌جواری (NJ) با استفاده از نرم‌افزار MEGA (Tamura *et al.*, 2007) ترسیم گردید.



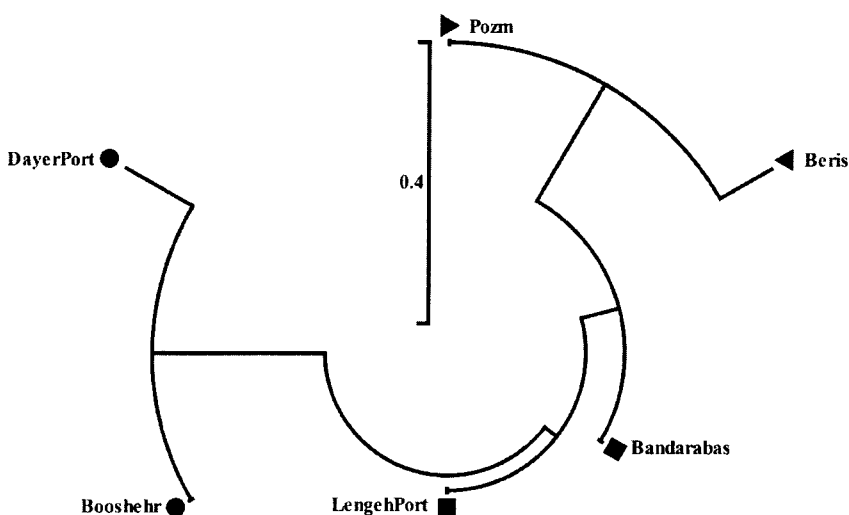
شکل ۲: محصول PCR و آرایش باندهای DNA ماهی سوکلا با استفاده از آغازگر Rca 1B-H09 متعلق به ۱۵ نمونه از منطقه بریس بر روی ژل پلی‌اکریل‌آمید ۸٪ و با وزن مولکولی ۱۵۰-۲۰۶ جفت باز که با نرم افزار Lab Image محاسبه گردیده است. اعداد مربوط به شماره آللی است که وزن مولکولی بانده را نشان می‌دهد. M: نشانگر مولکولی pBR322 DNA/AluI Marker, 20, مولکولی نشانگر.

نمونه‌های بندرعباس با نمونه‌های بندر لنگه که دارای بیشترین میزان جریان زنی (۳۴۶) می‌باشد مشاهده می‌شود. محاسبه F_{st} بر حسب فراوانی نشان می‌دهد که حداکثر آن (۰/۰۴۴) بین نمونه‌های بندر دیر با نمونه‌های بریس که دارای کمترین میزان جریان زنی (۵/۰۵) است و حداقل F_{st} (۰/۰۱) بر حسب فراوانی بین نمونه‌های بریس با نمونه‌های پزم که دارای بیشترین میزان جریان زنی (۲۲/۳) می‌باشد، مشاهده می‌شود. نتایج بدست آمده از R_{st} حاکی از آن بوده که حداکثر آن (۰/۲۴۶) براساس آزمون AMOVA با احتمال ۹۹ درصد بین نمونه‌های بندر دیر با نمونه‌های بریس که دارای کمترین میزان جریان زنی (۷/۰۷) و حداقل R_{st} (۰/۰۰) بین نمونه‌های بریس با نمونه‌های پزم که دارای بیشترین میزان جریان زنی (۷/۹۶) است مشاهده می‌شود.

براساس معیار Nei در سال ۱۹۷۸ بیشترین فاصله ژنتیکی (۰/۷۳۹) و کمترین شباهت ژنتیکی (۰/۴۷۸) میان نمونه‌های مناطق دیر و بریس وجود دارد. همچنین کمترین فاصله ژنتیکی مناطق بندرعباس و بندرلنگه وجود دارد. شکل ۳ درخت فیلوزنی بدون ریشه حاصل از معیار Nei در سال ۱۹۷۸ را که براساس فاصله ژنتیکی به روش پیوند هم‌جواری (NJ) ترسیم گردیده را نشان می‌دهد.

در مطالعه حاضر دامنه هتروزیگوستی مشاهده شده (H_0) بین مناطق نمونه‌برداری در جایگاه‌های هفتگانه بین ۰/۱۵ تا ۰/۰۰ با میانگین $655 \pm 0/082$ بود، بیشترین مقدار مربوط به جایگاه ژنی *Rca 1B-F07* و کمترین مقدار مربوط به جایگاه ژنی *Rca 1B-E08A* در نمونه‌های جمع‌آوری شده از منطقه بریس می‌باشد. دامنه هتروزیگوستی مورد انتظار (H_E) بین مناطق نمونه‌برداری در جایگاه‌های هفتگانه بین ۰/۷۶۷ تا ۰/۹۲۳ با میانگین $0/036 \pm 0/0874$ بود، بیشترین مقدار مربوط به جایگاه ژنی *Rca 1B-F07* در نمونه‌های جمع‌آوری شده از منطقه بندرعباس و کمترین مقدار در جایگاه ژنی *Rca 1B-F06* مربوط به منطقه بندر لنگه می‌باشد.

در بررسی تعادل هارددی- واینبرگ در سطح لوکوس‌های مختلف، لوکوس‌های *Rca 1B- Rca 1B-E02 Rca 1B-A10 Rca 1B-H09 Rca 1B-F07 E08A* و *Rca 1B-F07* در تمامی مناطق مورد بررسی انحراف از تعادل هارددی- واینبرگ را نشان داده و خارج از تعادل بودند ($P < 0.05$) (جدول ۳).
جدول ۴ میزان F_{st} و محاسبه شده برای مناطق مختلف نمونه‌برداری به همراه میزان جریان زنی (N_m) یا تعداد مهاجرت موثر میان جمعیت‌ها را بر اساس آزمون AMOVA نشان می‌دهد. نتایج بدست آمده از F_{st} نشان می‌دهد که حداکثر آن (۰/۰۶۳) بین نمونه‌های بندر دیر با نمونه‌های پزم که دارای کمترین میزان جریان زنی (۷/۰۷) است و حداقل F_{st} (۰/۰۰) بین



شکل ۳: نمایش خوش‌های فاصله ژنتیکی نمونه‌های جمع‌آوری شده ماهی سوکلا از مناطق مختلف به روش پیوند هم‌جواری (NJ) و براساس معیار Nei (1978)

جدول ۲: توالی تکرارگر، توالی تکراری، دمای اتصال پرحسب درجه سانتیگراد آلتی (جفت باز)، تعداد آلت‌های مشاهده شده (No)، تعداد آلت‌های موثر (N_E)، میانگین متوزعیکوسینث مشاهده شده، (H_E) و میانگین خروزیکوسینث مورد انتظار (H₀) جایگاههای ریزماهرهای برسی شده در ماهی سوکلا

H _E	H ₀	N _E	No	آلت معدوده	مرند	توالی تکراری	توالی آغازگر (۳'-۵')	لوكس	ردیف
۰/۰۰۰	۱/۱۰۰	۱	۱	۱۱۹	۷۰	(GT) _۶ (CTGT) _۲ (CT) _۲ (GT) _۲	CAGCCTGCCTTAGCCTATCA GAAGGATGGACCACTGTGAC GCAGTTGATTCTGATGGTACAC	Rca 1B-D09	۱
۰/۰۰۰	۱/۱۰۰	۱	۱	۱۱۱	۴۰	(CA) _۸ (CA) _۳	CTATGCCAGCTCATATGTC	Rca 1B-E08B	۲
۰/۰۰۰	۱/۱۰۰	۱	۱۰۷	۷۰	(CT) _۳ TC(CT) _۴	GAAACTCTATAACAGCATGTC	Rca 1B-G10	۳	
۰/۰۰۰	۱/۱۰۰	۱	۱۰۷	۷۰	(CT) _۳ TC(CT) _۴	GTAGACAGAGCACACATGAG	Rca 1B-A10	۴	
۰/۰۰۲	۰/۰۲۰	۱/۰۰۳	۱۱۸۳	۱۰۹-۲۰۱	۳۰	(GTT) _۶	GCAGCCCATAATGCTAACAAAGCC	Rca 1B-H09	۵
۰/۰۰۲	۰/۰۲۰	۱/۰۰۳	۱۱۸۳	۱۰۹-۲۰۱	۳۰	(ATGTTAGTCAAAGCGAGCCACG	GTGTTGCCAGCCAATGCTA	Rca 1B-E02	۶
۰/۰۰۲	۰/۰۲۰	۱/۰۰۶	۱۲	۴۸۸-۳۲۲	۷۰	(CT) _{۱۰}	CTCCTAGTCACACTACAGCTC	Rca 1B-E08A	۷
۰/۰۰۲	۰/۰۰۷	۱/۰۱۸	۱۱۰-۲۳۱	۱۹۱	۷۰	(CA) _۸ (CA) _۳ (CA) _{۱۶}	CATATCAAGTCAAATTCACAGACC	Rca 1B-F06	۸
۰/۰۰۰	۰/۰۰۱	۱/۰۰۰	۳۳۴-۳۱۶	۷۰	۰۸	(CTAT) _{۱۵}	CCACGGAATAGCAGACTTCTC	Rca 1B-F07	۹
۰/۰۰۰	۱/۰۰۰	۱/۰۱۶	۱۱۶-۱۶۱	۷۰	۰۹	(GACA) _۶ (CA) _{۱۲}	CAAGCAAATGGTGGCCGA	Rca 1B-H09	۱۰
۰/۰۰۰	۰/۰۱۳	۱/۰۰۳	۱۶۸۷	۱۰۰-۲۲۱	۷۰	(GATA) _{۱۱}	CGTTAGCAACCACAGGAGCTG	Rca 1-A04	۱۱
۰/۰۰۱	۰/۰۸۸	۰/۰۳۰۱	۱۳۳۳	۱۸۶-۲۲۲	۷۰	(CA) _۸ (CACT) _۴	GGATCTGGTGGTGAAGTCAT	Rca 1-A04	۱۲
							CTGTGGCTGAAGGTGTGTT		
							CATGTATTCTCCAACCTCATGG		
							GTGTATCCGCATACTTCAG		
							CACGCACATGGCACTACTTTAAC		
							GCTGTTGATGGCCGAAGCAAC		

جدول ۳: تعادل هاردی - واینبرگ در ۷ جایگاه زنی ریزماهواره‌ای پلی‌مورفیک در ماهی سوکلا (*R. canadum*) بر حسب مناطق مختلف نمونه‌برداری

A04	H09	F07	F06	E08A	E02	A10	عوامل تعادل ^۲	منطقه
۹۱	۱۰۳	۷۸	۳۶	۷۸	۷۸	۷۸	درجه آزادی	۱- بوشهر
۱۸۲	۲۲۶	۱۸۱	۱۰۸	۲۷۲	۱۰۳	۲۰۸		
۰/۰۰۰	۰/۰۰۰	۰/۰۰۰	۰/۰۰۰	۰/۰۰۰	۰/۰۰۰	۰/۰۰۰		
***	***	***	***	***	***	***		
۷۶	۷۸	۷۶	۹۱	۳۶	۵۵	۲۸	درجه آزادی	۲- بندردیر
۱۱۶	۱۷۲	۱۳۲	۱۰۲	۱۰۳	۱۲۰	۱۰۵	آزمون مریع کای	
۰/۰۰۰	۰/۰۰۰	۰/۰۰۰	۰/۰۰۰	۰/۰۰۰	۰/۰۰۰	۰/۰۰۰	احتمال	
***	***	***	***	***	***	***	معنی دار بودن	
۱۰۵	۱۲۰	۱۲۰	۲۸	۷۸	۶۶	۹۱	درجه آزادی	۳- بندرلنگه
۲۰۶	۱۰۷	۱۸۴	۹۹	۲۴۸	۱۲۰	۲۱۰	آزمون مریع کای	
۰/۰۰۰	۰/۰۱۴	۰/۰۰۰	۰/۰۰۰	۰/۰۰۰	۰/۰۰۰	۰/۰۰۰	احتمال	
***	*	***	***	***	***	***	معنی دار بودن	
۱۰۵	۱۰۵	۱۲۰	۱۰۵	۷۸	۶۶	۹۱	درجه آزادی	۴- بندرعباس
۳۴۹	۱۳۶	۲۴۲	۲۴۸	۲۸۷	۱۵۴	۲۷۵	آزمون مریع کای	
۰/۰۰۰	۰/۰۲۴	۰/۰۰۰	۰/۰۰۰	۰/۰۰۰	۰/۰۰۰	۰/۰۰۰	احتمال	
***	*	***	***	***	***	***	معنی دار بودن	
۶۶	۷۸	۵۵	۲۸	۵۵	۷۸	۵۵	درجه آزادی	۵- پرم
۹۱	۸۲	۱۰۲	۳۶	۱۶۸	۱۰۹	۱۰۰	آزمون مریع کای	
۰/۰۲۲	۰/۳۴۸	۰/۰۰۰	۰/۱۳۷	۰/۰۰۰	۰/۰۱۲	۰/۰۰۰	احتمال	
*	ns	***	ns	***	*	***	معنی دار بودن	
۶۶	۷۸	۲۸	۳۶	۴۵	۵۵	۵۵	درجه آزادی	۶- بربس
۷۷	۱۱۶	۵۱	۶۷	۱۴۹	۹۴	۱۰۹	آزمون مریع کای	
۰/۱۷۵	۰/۰۰۴	۰/۰۰۶	۰/۰۰۱	۰/۰۰۰	۰/۰۰۱	۰/۰۰۰	احتمال	
ns	**	**	**	***	***	***	معنی دار بودن	

*، ** و ***: پرتبی معنی داری با احتمال خطای کمتر از ۵ درصد، ۱ درصد و ۰/۱ درصد را نشان می‌دهند.

ns: اختلاف با احتمال خطای کمتر از ۵ درصد غیر معنی دار است ($P < 0.05$).

جدول ۴: آنالیز تنوع ژنتیکی میان جفت جمعیت‌ها برای مناطق مختلف نمونه‌برداری و براساس تمام جایگاهها (اعداد بالای ماتریکس میزان R_{st} ، اعداد زیر ماتریکس میزان F_{st} و اعداد داخل پرانتز میزان جربان ژئی را براساس آزمون AMOVA نشان می‌دهند).

منطقه	بوشهر	بندر دیر	بندر لنگه	بندر عباس	پز	بریس
بوشهر	۰/۰۴۰	۰/۷۲۰*	۰/۱۱۴*	۰/۱۳۹*	۰/۱۵۶*	
بندر دیر	۰/۰۰۲ (۱۰۸)	۰/۰۳۲ (۷/۵)	۰/۱۲۲*	۰/۲۴۵*	۰/۲۴۶*	
بندر لنگه	۰/۰۱۷ (۱۴/۲)	۰/۰۳۲ (۷/۵)	۰/۰۰۹	۰/۰۶۵*	۰/۰۸۴*	
بندر عباس	۰/۰۲۱ (۱۱/۹)	۰/۰۲۹ (۸/۵)	۰/۰۰۰ (۳۴۶)	۰/۰۷۳*	۰/۰۶۱	
پز	۰/۰۴۴ (۵/۵)	۰/۰۶۳ (۳/۷)	۰/۰۱۵ (۱۶/۱)	۰/۰۰۵		
بریس	۰/۰۴۷ (۵)	۰/۰۶۲ (۳/۸)	۰/۰۱۵ (۱۶/۴)	۰/۰۰۱ (۲۰۴)		

درجه تمایز ژنتیکی میان دو جمعیت R_{st} درجه تمایز ژنتیکی میان دو جمعیت براساس جایگاه‌های ریزماهواره؛ *: معنی‌داری با احتمال خطای کمتر از ۱ درصد را نشان می‌دهند ($P < 0.01$).

بحث

پیشنهادی برای بررسی‌های ژنتیکی می‌باشد. در مقایسه مناطق مورد مطالعه بیشترین تعداد آلل مشاهده شده مربوط به نمونه‌های منطقه بندرعباس با ۱۴۲۸۶ آلل و کمترین تعداد آلل مشاهده شده مربوط به نمونه‌های منطقه بریس با ۱۰۵۷۱ آلل می‌باشد. همچنین بیشترین تعداد آلل مؤثر مربوط به نمونه‌های منطقه بندرعباس با ۹۷۴۰ آلل و کمترین تعداد آلل مؤثر مربوط به نمونه‌های منطقه دیر با ۷۰۵۹ آلل می‌باشد که علت این پدیده احتمالاً به خاطر زیادتر بودن نمونه‌ها (۴۱)، جریان ژئی بالا و بروز زادآوری، عدم تخریب زیستگاه‌های طبیعی منطقه بندرعباس نسبت به بریس چهار و منطقه دیر می‌باشد که با گذشت زمان موجب افزایش آلل و افزایش تنوع ژنتیکی در ذخایر منطقه بندرعباس گردیده است. میزان جربان ژئی (Nm) به تعداد مولدین مهاجر از یک منطقه به منطقه دیگر طی یک نسل اطلاق می‌شود؛ هرچه میزان جربان ژئی (Nm) بین دو منطقه بیشتر باشد بیانگر آن است که

Herwerden ژنتیکی ماهی دهان قرمز (*Lethrinus miniatus*) تعداد ۱۷۳ نمونه، Pruett و همکاران در سال ۲۰۰۵ در مطالعه تنوع ژنتیکی ماهی سوکلا با استفاده از روش ریزماهواره در خلیج مکزیک تعداد ۴۲ نمونه، Renshaw و همکاران در سال ۲۰۰۵ در مطالعه ژنتیکی ماهی سوکلا با استفاده از روش ریزماهواره تعداد ۲۴ نمونه و Zhao و همکاران در سال ۲۰۰۵ در بررسی ریزماهواره‌ای تنوع ژنتیکی تاسماهی چینی در رودخانه یانگ تسه ۶۰ نمونه ماهی را جمع‌آوری کردند. در بررسی حاضر با توجه به میزان کم صید ماهی، بزرگی جثه و دشواری دسترسی به نمونه‌های بیشتر در کل تعداد ۱۸۴ نمونه ماهی سوکلا از سواحل شمالی خلیج فارس و دریای عمان جمع‌آوری و مورد بررسی قرار گرفت که با توجه به نتایج آماری و معنی‌دار بودن آن و مقایسه با کارهای دیگران که ذکر گردید قابل قبول بوده و بنظر می‌رسد که نمونه جمع‌آوری شده متناسب با تعداد

میزان R_{st} براساس آزمون AMOVA بین مناطق واقع در یک ناحیه نمونهبرداری غیرمعنی‌دار ولی بین مناطق واقع در نواحی مختلف معنی‌دار بود ($P < 0.01$) یا بعبارتی میزان R_{st} با احتمال ۹۹ درصد ($P < 0.01$) اختلاف معنی‌داری بین جمعیت ماهی سوکلای منطقه بوشهر با کلیه مناطق بغیر از منطقه دیر نشان می‌دهد و جمعیت ماهی سوکلای منطقه بندرعباس نیز با احتمال ۹۹ درصد ($P < 0.01$) اختلاف معنی‌داری را با کلیه مناطق بغیر از منطقه بندرلنگه نشان می‌دهد. همچنین جمعیت ماهی سوکلای منطقه بریس با احتمال ۹۹ درصد ($P < 0.01$) اختلاف معنی‌داری را با کلیه مناطق بغیر از منطقه پرم نشان می‌دهد. با توجه به درجه تمایز ژنتیکی میان دو جمعیت براساس جایگاههای ریزماهواره یا مقادیر F_{st} و R_{st} میان مناطق مختلف نمونهبرداری می‌توان جمع‌بندی نمود که ماهی سوکلا در خلیج فارس و دریای عمان احتمالاً دارای ۲ جمعیت مجزا است که شامل جمعیت بوشهر، جمعیت هرمزگان و جمعیت چابهار می‌باشد.

این مطالعه مدارک و شواهد اولیه را برای وجود جمعیت‌های تمایز نشان می‌دهد و با توجه به برنامه در دست اقدام شیلات ایران در زمینه تکثیر مصنوعی ماهی سوکلا در سواحل جنوبی ایران بهتر است برای مدیریت این ذخایر، ساختار جمعیت آن به هنگام تکثیر مصنوعی در نظر گرفته شود. اگر برنامه‌های مدیریتی ذخیره‌سازی تمامیت ژنتیکی افراد را در برداشت باشند در این صورت جمعیت حفظ می‌شود، اما استفاده از افراد سایر جمعیت‌ها ممکن است تمایز ژنتیکی بین جمعیت‌ها را به خطر بیندازند؛ افراد باقیمانده از یک جمعیت باید به شدت محافظت شوند و برای حفاظت در هنگام گرفتن ژن باید از تعداد زیاد مولدهای استفاده کرد و هنگامی می‌توان از جمعیت‌های این گونه محافظت کرد که در مدیریت به ساختار جمعیت محلی شامل برنامه‌های دقیق ذخیره‌سازی و مشکلاتی مانند کاهش زیستگاهها و صید بی رویه توجه شود.

با توجه به انطباق نتایج حاصله با پیش فرض‌های معلوم می‌توان جمع‌بندی کرد که نشانگرهای ریزماهواره‌ای ابزار بسیار توانمندی برای بررسی تنوع درون و بین جمعیتی و روابط تکاملی میان جمعیت‌ها و بطور کلی مطالعات ژنتیک جمعیتی می‌باشند و برتری‌های انکار ناپذیری را در این رابطه دارا

مهاجرت بین مناطق بیشتر بوده و در نتیجه تنوع ژنتیکی بالاتر ولی تمایز ژنتیکی میان مناطق مزبور کمتر است. بیشترین مقدار هتروزیگوستی مشاهده شده (۰/۷۰۱) در نمونه‌های ناحیه هرمزگان (مناطق بندرعباس و بندرلنگه) دیده شد که نشانه بالا بودن تنوع و مناسب بودن ساختار جمعیت در این ناحیه نسبت به جمعیت‌های سایر نواحی نمونهبرداری است. می‌توان علت آنرا به فرصت بیشتر برای تکثیر طبیعی، بهره‌برداری بهینه از منابع شیلاتی، عدم تخریب زیستگاههای طبیعی، بالا بودن میزان جریان ژئی (Nm)، بروز زادآوری و غیره تفسیر نمود. کمترین مقدار هتروزیگوستی مشاهده شده در نمونه‌های مناطق بریس چابهار (۰/۵۸۶) و بندر دیر (۰/۶۲۳) دیده شد که علت آن در بریس چابهار عدم بهره‌برداری بهینه از منابع شیلاتی و احتمالاً پایین بودن میزان جریان ژئی (Nm) و در بندر دیر تخریب زیستگاههای طبیعی ناشی از توسعه پارس جنوبی و تأسیسات عسلویه است.

Advise و Dewoody در سال ۲۰۰۰ میانگین مقادیر هتروزیگوستی مشاهده شده را در ماهیان دریایی ۰/۷۹، ماهیان آب شیرین ۰/۴۶ و ماهیان آنادراموس رقمی بینابین ماهیان دریایی و آب شیرین ۰/۶۸ گزارش کردند. در بررسی حاضر میانگین هتروزیگوستی مشاهده شده ۰/۶۵۵ کمتر از مقدار اعلام شده برای ماهیان دریایی ۰/۷۹ می‌باشد که علت آن احتمالاً به دلیل جریان ژئی پایین، آمیزش‌های خویشاوندی و تنگناهای ژنتیکی به واسطه افزایش میزان فشار صید، تخریب زیستگاه، اندازه کوچک جمعیت، نمونه‌برداری افراد خویشاوند از یک گله و غیره می‌باشد.

جریان ژئی بین نمونه‌های مناطق خلیج فارس با یکدیگر و دریای عمان با یکدیگر بالاتر از جریان ژئی بین نمونه‌های مناطق خلیج فارس و دریای عمان با هم دیگر است. علت چنین امری را می‌توان به عوامل زیست محیطی مختلفی از جمله تفاوت درجه حرارت، شوری، مواد مغذی و جریانات دریایی بین زیستگاههای مختلف در شرق و غرب خلیج فارس و دریای عمان نسبت داد. بنابراین تفاوت عوامل زیست محیطی موجود بین زیستگاههای شرق و غرب خلیج فارس و دریای عمان موجب محدود شدن جریان ژئی بین آنها و ایجاد تمایز ژنتیکی می‌شود.

- Hillis D.M. and Moritz C., 1990.** Molecular taxonomy. Sinauer Associates Inc Publishers. Sunderland, Massachusetts, U.S.A. 120P.
- Hoelzel A.R. and Dover G.A., 1991.** Molecular genetic ecology. Oxford University Press. New York, USA. 270P.
- Lu C.C., 1998.** Diversity of cephalopoda from the waters around Taiwan. Phuket Marine Biological Center Special Publication. Vol. 18, No. 2, pp.331-340.
- Nei M., 1978.** Estimation of average heterozygosity and genetic distance from a small number of individuals. *Genetics*, 89:583-590.
- Peakall M. and Smouse A., 2005.** Gene Alex 6: Genetic Analysis in Excel. Population genetic software for teaching and research. The Australian National University, Canberra, Australia.
- Pruett C.L., Saillant E., Renshaw M.A., Patton J.C., Rexroad C.E. and Gold J.R., 2005.** Microsatellite DNA markers for population-genetic studies and parentage assignment in cobia, *Rachycentron canadum*. *Molecular Ecology Notes*, 5:84–86.
- Renshaw M.A., Saillant E., Pruett C.L., Rexroad C.E. and Gold J.R., 2005.** Microsatellite markers for cobia, *Rachycentron canadum*. *Gulf of Mexico Science*, 23:248-254.
- Rezvani Gilkolaei S., 1997.** Molecular population genetic studies of sturgeon species in the south Caspian Sea. Ph.D Thesis. School of biological sciences, university of Wales, Swansea. U.K. 196P.
- Ryman N., 1991.** Conservation genetics considerations in fishery management. *Journal of Fish Biology*, 39:211-224.

می باشند و توصیه می گردد در مطالعات آنی ژنتیک جمعیت سایر گونه ها این روش مورد استفاده قرار گیرد. با توجه به تشخیص ۳ جمعیت مجزای ماهی سوکلای بوشهر، هرمزگان و چابهار در خلیج فارس و دریای عمان پیشنهاد می گردد که اختلافات این گونه در نواحی مختلف جمعیتی از نظر شرایط اکولوژیک و بیولوژی تولید مثل، زمان تخریبی، محل تخریبی و غیره مورد بررسی و مطالعه قرار گیرد.

تشکر و قدردانی

از آقای مهندس فرامرز لالوئی و آقای مهندس محمد جواد تقی کارشناسان بخش بیوتکنولوژی پژوهشکده اکولوژی دریای خزر که ما را در تمام لحظات اجرای این پروژه یاری نمودند، سپاسگزاری می گردد.

منابع

- Adams B.K. and Hutchings A., 2003.** Micro geographic population structure of brook char: a comparison of microsatellite and mark-recapture data. *Journal of Fish Biology*, 62:517-533.
- Bassam B.J., Caetano-Anolles G. and Grosshoff P.M., 1991.** Fast and sensitive silver staining of DNA in polyacrylamide gels. *Anal Biochemistry*, 196:80–83.
- Dewoody J.A. and Avise J.C., 2000.** Microsatellite variation in marine, freshwater and anadromous fishes compared with other animals. *Journal of Fish Biology*, 56:461-473.
- Ditty J.G. and Shaw R.F., 1992.** Larval development, distribution, and ecology of cobia *Rachycentron canadum* (Family: Rachycentridae) in the northern Gulf of Mexico. *Fishery Bulletin*, 90:668–677.
- Herwerden L., Benzie J. and Davies C., 2003.** Microsatellite variation and population genetic structure of the red throat emperor on the Great Barrier Reef. *Journal of Fish Biology*, 62:987-999.

- Shaffer R.V. and Nakamura E.L., 1989.** Synopsis of biological data on the Cobia, *Rachycentron canadum* (Pisces: Rachycentridae). NOAA technical report NMFS 82, FAO fisheries synopsis, 153, 21P.
- Tamura K., Dudley J., Nei M. and Kumar S., 2007.** MEGA4: Molecular Evolutionary Genetics Analysis (MEGA) software version 4.0. *Molecular Biology and Evolution*, 24:1596-1599.
- Turner J.P. and Rooker J.R., 2005.** Effect of dietary fatty acids on the body tissues of larval and juvenile cobia and their prey. *Journal of Experiment Marine Biology and Ecology*, 322:13-27.
- Valinassab T., Daryanabard R., Dehghani R. and Pierce G.J., 2006.** Abundance of demersal fish resources in the Persian Gulf and Oman Sea. *Journal of the Marine Biology Association*. U.K., 86:1455-1462.
- Zhao N., Shao Z., Ai W., Zhou B., Brosse S. and Chang J., 2005.** Microsatellite assessment of Chinese sturgeon (*Acipenser sinensis* Gray) genetic variability. *Journal of Applied Ichthyology*, 21: 7-13.

Investigation on genetic structure of Cobia (*Rachycentron canadum*) using Microsatellite Markers

Rezvani Gilkolaei S.^{(1)*}; Salari Aliabadi M.A.⁽²⁾; Savari A.⁽³⁾;
Zolgharnian H.⁽⁴⁾ and Nabavi S.M.B.⁽⁵⁾

1- Iranian Fisheries Research Organization, P.O.Box:14155-6116, Tehran, Iran

2,3,4,5- Marine Science and Technology of Khorramshahr University, P.O.Box: 669,
Khorramshahr, Iran

Received: June 2008

Accepted: September 2009

Keywords: *Rachycentron canadum*, Microsatellite, Persian Gulf, Oman Sea

Abstract

The genetic diversity of Cobia, *Rachycentron canadum* populations in the Persian Gulf and Oman Sea were assessed using microsatellite technique. We removed about 3-5g of pectoral and dorsal fin tissue from 184 samples in winter 2006 and spring 2007, and stored it in pure ethyl alcohol (96%). Polymerase chain reactions (PCR) were conducted on the target DNA using 10 paired microsatellite primers. The dendrogram was constructed and drawn using MEGA software package version 4. Based on the analysis of molecular variance, the highest F_{st} (0.063) was observed when comparing specimens from Dayer Port and Pozm zones. Significant differences ($P<0.01$) were not observed between R_{st} recorded for the specimens studied in the same region but were observed between R_{st} recorded for different regions. The dendrogram of genetic distance showed two major clusters: the Bushehr and Dayer populations were in one cluster, and the remaining four populations in the other. The second cluster was further separated into two sub-clusters: the Lengeh and Bandar Abbas populations composed one cluster and the Pozm and the Beris populations were in the other cluster. The present study showed that at least three different populations of *R. canadum* are living in the Persian Gulf and Oman Sea. The populations include Bushehr, Bandar Abbas and Chabahar populations.

* Corresponding author: Rezvani@ifro.ir